

واکاوی آماری - همدید تغییرپذیری آب و هواشناختی رژیم بارش غرب میانی ایران با تأکید بر رخداد خشکسالی‌های شدید

فرامرز خوش اخلاق^{۱*}، مصطفی کریمی احمدآباد^۲، سیدمیثم جاسمی^۳، سیف‌الله کاکی^۴

^۱دانشیار اقلیم‌شناسی، دانشکده جغرافیا، دانشگاه تهران، تهران، ایران

^۲استادیار اقلیم‌شناسی، دانشکده جغرافیا، دانشگاه تهران، تهران، ایران

^۳دانش‌آموخته کارشناسی ارشد آب و هواشناسی سینوپتیک، دانشکده جغرافیا، دانشگاه تهران، تهران، ایران

تاریخ دریافت: ۹۸/۱۲/۱۲؛ تاریخ پذیرش: ۹۹/۳/۲۷

چکیده

یکی از پیامدهای تغییرات آب‌وهای، تغییرپذیری الگوهای جوی و افزایش رخداد خشکسالی‌ها می‌باشد. خشکسالی یکی از مخاطرات طبیعی است که با شناخت ویژگی‌های آن می‌توان پیش‌بینی بهتری از این پدیده جهت کاهش اثرات زیابنبار آن انجام داد. هدف این مطالعه پایش خشکسالی‌های شدید و بسیار شدید و شناسایی الگوهای همدیدی مؤثر در رخداد آن در منطقه غرب میانی ایران است. بدین منظور داده‌های میانگین روزانه بارش طی یک دوره آماری ۲۶ ساله (اکتبر ۱۹۸۹ تا سپتامبر ۲۰۱۵) برای ۱۶ ایستگاه همدیددر منطقه پژوهش، از سایت سازمان هواشناسی کشور دریافت شد. جهت شناسایی دوره‌های خشک و برسی آماری خشکسالی از شاخص بارش استاندارد (SPI) استفاده گردید. محاسبه این شاخص برای مقیاس‌های زمانی مختلف نشان‌دهنده فراوانی بالا و تداوم طولانی مدت خشکسالی به خصوص در بازه زمانی سالانه است. از لحاظ مکانی خشکسالی‌های شدید و بسیار شدید از شمال به جنوب و از غرب به شرق منطقه افزایش داشته است. از این رو ایستگاه‌هایی مانند همدان، دهلران، بروجرد و سرپل ذهاب به عنوان بحرانی‌ترین مناطق در منطقه پژوهش شناسایی شدند. در واکاوی همدید یک الگوی پشتی، یک الگوی ناوه و دو الگوی زناری در ایجاد خشکسالی منطقه مشخص شدند. الگوی پشتی حاصل جابجایی کمرنگ پرارتفاع جنب‌حواره بویژه گسترش نصف‌النهاری پرارتفاع جنوب عربستان است. در الگوی ناوه، ناوه تضعیف شده مدیترانه و عدم تطابق تراز میانی و زیرین جویه عنوان علت اصلی رخداد دوره‌های خشک در غرب میانی ایران و در الگوی زناری نیز وزش بادهای غربی به شکل زناری و گذر این بادها از منطقه پژوهش علل ایجاد دوره‌های خشک شناخته شد.

واژه‌های کلیدی: خشکسالی شدید، شاخص بارش استاندارد، الگوهای همدید، غرب میانی ایران.

قرار می‌دهد (ساباش^۲ و همکاران، ۲۰۱۱:۱). این بدین معنی است که تعیین شروع و خاتمه آن مشکل و اثرات آن ممکن است به تدریج برای یک دوره طولانی بصورت انباسته شده درآمده و برای سال‌های پس از آن نیز ادامه داشته باشد (دانشور، ۱۳۸۶: ۱۵۹). پدیده خشکسالی مستقیم و غیرمستقیم در بخش‌های مختلف مانند کشاورزی، منابع آب، محیط زیست، اقتصاد و جامعه تاثیر گذاشته و باعث ایجاد مشکلاتی زیادی برای انسان‌ها شود. با این حال با وجود

مقدمه

مخاطرات جوی و اقلیمی از جمله خشکسالی، سیل و طوفان می‌توانند به شدت زیست‌سامانه‌های طبیعی و جوامع انسانی را تحت تاثیر قرار دهند (لی^۱ و همکاران، ۲۰۱۰: ۲۲۲۵). برخی مخاطرات مثل خشکسالی بدليل ویژگی خوشی و نامحسوس بیش از هر مخاطره دیگر محیط زندگی انسان را تحت تاثیر

*نویسنده مسئول: fkhosh@ut.ac.ir

1. Lee

انداد در یونان (Livadao Kopulovs^۶، ۲۰۰۷)، توسعه زمانی - مکانیو خصوصیات خشکسالی های بزرگ مقیاساروپا با استفاده از اشخاص بارش استاندارد و اکاوی هم دید علی رخداد آن‌ها (Pari^۷ و همکاران، ۲۰۱۰) و بررسی خشکسالی‌های کیا و دستیابی به امکان پیش‌بینی‌بارش‌های منطقه از طریق مدل‌های آماری (جنیفر^۸، ۲۰۱۱) اشاره کرد. در ایران هم مطالعات زیادی در مورد جنبه‌های مختلف خشکسالی صورت گرفته است، که خشکسالی‌الای ۱۳۸۶-۸۷ و اثرات نسبتمند آب‌کشاورزی در حوضه سد درودزن (خوش‌اخلاق‌وهمکاران، ۱۳۸۹)، واکاوی آماری- همدیدی خشکسالی‌های جنوب‌غرب ایران (رحیمی^۹، ۱۳۹۰)، پایش و پنهانه- بندهای خشکسالی استان خراسان رضوی از اشخاص بارش بررسی خشکسالیدر تبریز با استفاده از شاخص بارش استاندارد و نویزدایی بالاستفاده از الگوریتم موجک و نظریه آشوب (حسن‌زاده، ۱۳۹۱)، شناسایی الگوهای همدیدی خشکسالی و ترسالیز مسitanه در جنوب‌غرب ایران (خوش‌اخلاق و همکاران، ۱۳۹۱)، طبقه‌بندی الگوهای همدیدی بارش رزا و خشکسالی- زاده ایران‌زمین (فتاحی و بابایی، ۱۳۹۲) و مقایسه مدل‌های تصادفی و نظری در بررسی خشکسالی هیدرولوژی (بذرافشان و همکاران، ۲۰۱۴)، همگئی مطالعاتی است که در مناطق مختلف ایران صورت گرفته است. با توجه به این که بسیاری از سامانه‌های بارشی از غرب کشور ایران وارد می‌شود و منطقه‌های ایران یکی از قطب‌های کشاورزی و دامپروری ایران به شمار می‌رود و رخداد خشکسالی‌های شدید بویژه در سال‌های قبل صدمات زیادی را بر پیکره اقتصادی و معیشت مردمان این منطقه وارد کرده است. لذا بررسی خشکسالی‌های اخیر در این منطقه و شناخت سامانه‌های همدید تاثیرگذار بر بارش‌های غرب میانی ایران ضرورت می‌یابد.

پیشرفت‌های علمی و فنی هنوز بشر نتوانسته آن را بطور کامل تحت کنترل درآورد. هرچند از وقوع خشکسالی نمی‌توان جلوگیری کرد اما اگر ماهیت و خصوصیات آن مورد مطالعه قرار گیرد می‌توان تا حدودی آن را پیش‌بینی کرد و با برنامه‌ریزی اثرات زیانبار آن را کاهش داد. آستانه رخداد خشکسالی کمیتی نسبی است که از مکانی به مکان دیگر متفاوت است. برای تحلیل فضایی خشکسالی ارائه روشی که در آن مقیاس زمانی در نظر گرفته شود از اهمیت خاصی برخوردار است. یکی از این روش‌ها نمایه بارش استاندارد شده (SPI) است که به وسیله مک‌کی^۱ و همکاران (۱۹۹۳) ارائه شده است. این نمایه یکی از محدود آماره‌هایی است که در آن مقیاس زمانی برای واکاوی فضایی خشکسالی به کار گرفته شده است و به این دلیل از انعطاف‌پذیری بالایی در شناخت و واکاوی خشکسالی‌ها جهت بررسی آثار این پدیده بر ذخایر آبی در کوتاه و بلندمدت برخوردار است. کشور ایران به دلیل واقع شدن در کمربند خشک کره زمین، دارای ویژگی کمبود و نوسانات شدید بارش است. این نوسانات گاهی باعث بروز خشکسالی‌هایی باشد و ضعف‌های متفاوت در مناطق مختلف ایران می‌شود. در ارتباط با خشکسالی تاکنون تحقیقات زیادی در سطح ملی و بین‌المللی با روش و دیدگاه‌های مختلف صورت گرفته است. از جمله این تحقیقات می‌توان به بررسی خشکسالی‌های یونان با تأکید بر خشکسالی سال ۱۹۹۳ در ارتباط با سامانه‌های دینامیکی بزرگ مقیاس (پرزراکاس و فلوكاس^۲، ۲۰۰۲)، تحلیل خشکسالی‌های بلغارستان در ارتباط با شرایط همدید حاکم بر اروپا (تران^۳ و همکاران، ۲۰۰۲)، تعیین نقش پرشماره‌های دینامیکی و گرمایی اروپا در ایجاد خشکسالی تاستان^۴ (فینک^۵ و همکاران، ۲۰۰۳) اروپا، پتانسیل سنجی‌شاخه‌ای بارش استاندارد در رقایلات متحده (وو^۶ و همکاران، ۲۰۰۷)، تحلیل فضایی خشکسالی با استفاده از شاخص بارش است.

1. Mc. kee

2. Flucas and Paracas

3. Tran

4. Fink

5. Wow

6. Livadao Copulous

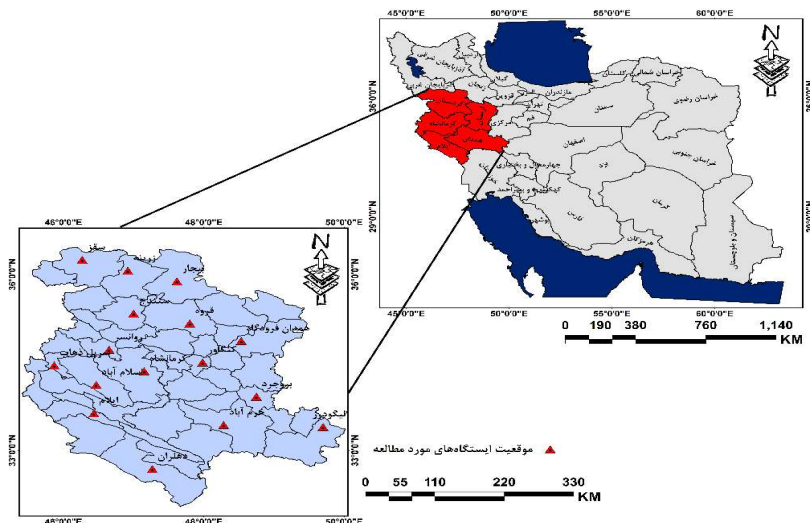
7. Pari

8. Jennifer

یک دوره آماری مشترک ۲۶ ساله (اکتبر ۱۹۸۹- سپتامبر ۲۰۱۵) برای ۱۶ ایستگاه همدید در منطقه از سازمان هواسنایی کشور دریافت شد. علت انتخاب ۲۶ سال مورد مطالعه به این سبب بود که در آن ایستگاه‌هایی انتخاب شوند که هم دارای آمار کافی و هم از پراکنش مناسب برخوردار باشند.

داده‌ها و روش پژوهش

منطقه پژوهش در غرب میانی ایران شامل استان‌های کردستان، کرمانشاه، همدان، لرستان و لرستان است. این محدوده در بردارنده بخش‌هایی از حوضه‌های آبریز دریاچه ارومیه، سفیدرود، مرز غربی و کرخه است که مهم‌ترین آنها حوضه کرخه است (شکل، ۱). برای انجام این پژوهش داده‌های روزانه بارش طی



شکل ۱: محدوده منطقه پژوهش

مقدار A با استفاده از رابطه (۳) محاسبه می‌شود.
 رابطه (۳):

$$A = \ln(x) = \frac{\sum \ln(x)}{n}$$

در این رابطه n تعداد مشاهدات بارش و x میانگین بارش تجمعی برای یک ماه در طول دوره آماری است. چون تابع گاما برای $0 = x$ (بارش صفر میلیمتر) تعريف نشده و توزیع بارش ممکن است دارای مقادیر صفر باشد، احتمال تجمعی کل که دربرگیرنده مقادیر صفر می‌باشد با استفاده از رابطه (۴) محاسبه می‌شود.

رابطه (۴):

$$H(X) = q + PG(X)$$

که در آن q احتمال صفر بودن مقدار بارش، و $P = 1 + q^m$ است. اگر m تعداد داده‌های بارش صفر در سری زمانی n تایی باشد، آنگاه q از رابطه (۵) بدست می‌آید:

$$\text{رابطه (۵): } q = \frac{m}{n} A = \pi r^2$$

پس از محاسبه احتمال تجمعی کل مقدار متغیر تصادفی نرمال استاندارد، هم احتمال یادشده که دارای

سپس جهت شناسایی دوره‌های خشکاب استفاده از نمایه بارش استاندارد (SPI) محاسبات لازمانجام گرفت. محاسبه SPI شامل برازش تابع چگالی احتمال گاما بر توزیع فراوانی بارش برای یک ایستگاه معین است. احتمالات تجمعی گاما از رابطه (۱) به دست می‌آید.

رابطه (۱):

$$G(X) = \int_1^x \chi^{a-1} \varepsilon^{-\frac{x}{\beta}} \frac{1}{\beta^x \Gamma(a)}$$

در این رابطه $G(X)$ احتمالات تجمعی گاما، ε فراسنچ شکل، β فراسنچ مقیاس، χ مقدار بارش و $\Gamma(a)$ تابع گاما است. فراسنچهای توزیع چگالی احتمال گاما از داده‌های نمونه با روش درست‌نمایی بیشینه برای هر ایستگاه و برای مقیاس زمانی انتخابی (ماهانه) با استفاده از رابطه (۲) برآورد می‌شود:

$$\text{رابطه (۲):}$$

$$\bar{a} = \frac{1}{4A} \left[1 + \right]$$

آن سطراها (۶۹۳) نماینده مکان (نقاط نقشه) و ستون‌ها (۵۴۷) معرف زمان (روز) بودند. در ادامه برای آشکارسازی الگوهای رخدادخشکسالی‌های شدید و بسیار شدید، واکاوی خوش‌های به روش همبستگی بر روی ماتریس 693×547 انجام شد و در آن با تعیین ضریب همبستگی آستانه (۰/۰۷) که بر اساس نقطه شکست تعداد گروه‌ها تعیین شد، روزهایی که با یکدیگر دارای بیشترین همبستگی بودند و با روزهای دیگر کمترین همبستگی را داشتند ۱۱ گروه را تشکیل دادند (شکل ۲).

برای کاستن از تعداد گروه‌ها و به دست آوردن الگوهای اصلی، با استفاده از روش ترکیبی مقایسه همبستگی بین گروه‌ها و تفسیر چشمی، تعدادی از این گروه‌ها که دارای بیشترین همبستگی بودند با هم ترکیب شدند و در نهایت ۴ الگوی اصلی در رخداد خشکسالی‌ها استخراج شد. برای تعیین روز نماینده هر گروه، با محاسبه ماتریس همبستگی درون گروهی، روزهای نماینده هر الگو که دارای بیشترین همبستگی درون گروهی بوده و معرف هر کدام از خوش‌های تعیین‌کننده الگوهای همدید در منطقه بودند استخراج شدند. ویژگی هر کدام از این الگوهای خشک نیز پس آورده شده است. برای تعیین دوره‌های خشک نیز پس از محاسبه شاخص SPI روزانه، با توجه به نمرات SPI آن‌ها، از میان روزهای خشکی که از تداوم بیشتری برخوردار بودند، چند دوره انتخاب شد. در نهایت نیز با ترسیم نقشه‌های همدید با استفاده از داده‌های ارتفاع ژئوپتانسیل، باد زناری و نصف‌النهاری و نسبت تراز ۸۵۰ هـ پ در محدوده عرض ۱۰ تا ۶۰ درجه شمالی و طول صفر تا ۱۰۰ درجه شرقی، داده‌های ارتفاع ژئوپتانسیل، باد زناری و نصف‌النهاری و سرعت قائم هوا (امگا) در تراز ۵۰۰ هـ پ در محدوده عرض ۵ تا ۷۵ درجه شمالی و طول ۲۰ درجه غربی تا ۱۰۰ درجه شرقی و باد زناری و نصف‌النهاری در تراز ۲۵۰ هـ پ در محدوده عرض ۵ تا ۷۵ درجه شمالی و طول ۲۰ درجه غربی تا ۱۰۰ درجه شرقی با تفکیک $2/5 \times 2/5$ درجه قوسی که از مرکزلی پیش‌بینی محیطی و مرکز ملی پژوهش‌های جوی ایالات متحده اخذ شد، به

میانگین صفر و انحراف معیار یک است محاسبه می‌گردد، که همان نمایه SPI است. روابط (۶) و (۷) مقادیر Z یا SPI را از روی مقادیر X ارائه می‌دهد:

رابطه (۶):

$$Z = SPI = - \left[t - \frac{c_0 + c_1 t + c_2 t^2}{1 + d_1 t + d_2 t^2 + d_3 t^3} \right] (0 < H(X) \leq 0.5)$$

رابطه (۷):

$$Z = SPI = + \left[t - \frac{c_0 + c_1 t + c_2 t^2}{1 + d_1 t + d_2 t^2 + d_3 t^3} \right] (0.5 < H(X) \leq 1)$$

اگر احتمال تجمعی مطابق با رابطه (۸)، بیشتر از صفر یا کوچکتر و مساوی $5/0$ باشد؛ از رابطه (۹) استفاده می‌شود.

رابطه (۸):

$$(0 < H(X) \leq 0.5)$$

$$t = \sqrt{\ln \left[\frac{1}{H(X)^2} \right]} \quad (9)$$

اگر احتمال تجمعی مطابق با رابطه (۱۰)، بیشتر از صفر یا کوچکتر و مساوی $5/0$ باشد؛ از رابطه (۱۱) استفاده می‌شود.

$$(0.5 < H(X) \leq 1) \quad (10)$$

رابطه (۱۱):

$$t = \sqrt{\ln \left[\frac{1}{(1 - H(X))^2} \right]}$$

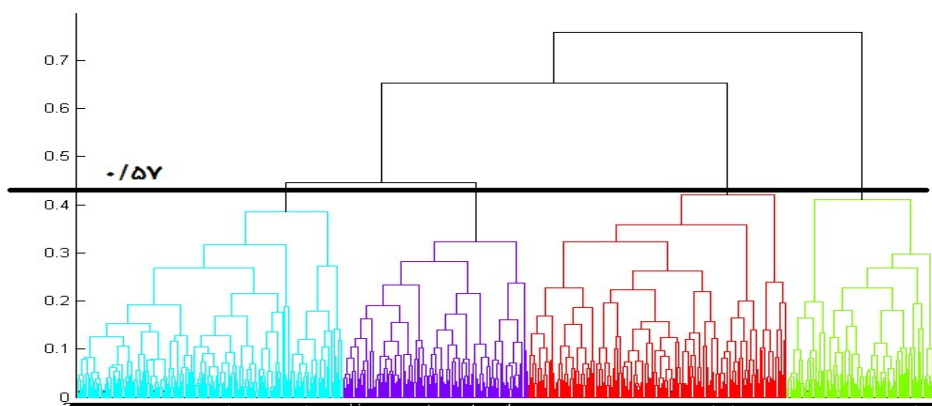
در این روابط مقدار $d_3, d_1, d_2, d_0, c_1, c_2$ احتمال تجمعی است (حجای زاده ۱۳۸۹). جهشناسایی سازوکار ایجاد خشکسالی در منطقه پژوهش‌لازم بود بهوکاوی شرایط همدید حاکم بر روزهای دوره‌های خشک پرداخته شود. لذا برای تعیین روزهای خشک و الگوهای جوی ایجاد کننده آن، پس از محاسبه نمایه بارش استاندارد، ابتدا تاریخ‌هایی که به عنوان روز خشک بودند از دیگر روزها جدا شدند. بنابراین از بین ۳۰ ماه خشک، تعداد ۵۴۷ روز به عنوان روز خشک انتخاب شد. سپس یک آرایه به ابعاد 693×547 با استفاده از داده‌های ارتفاع ژئوپتانسیل تراز ۵۰۰ هکتوپاسکال^۱ در نرم‌افزار متلب^۲ تشکیل شد. این ماتریس T نام داشت که در آن

۱- واژه هکتوپاسکال جهت کوتاه‌نوشت، در ادامه به صورت هـ پ نوشته می‌شود.

2. MatLab

کدام از روزها و دوهای خشک برداخته شد.

وآکاوی، همدیدسا؛ و کا، اتحاد‌کننده خشکسالی، د، هـ

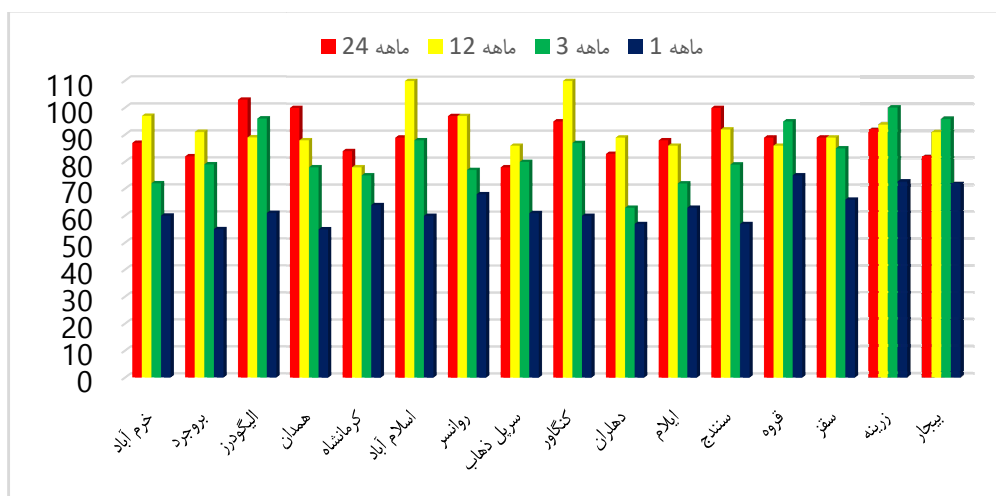


شکل ۲: نمودار درختی گروه‌ها بر اساس ضریب همیستگی آستانه ۰/۵۷

فراوانی بهترتب در بازه زمانی ۱۲ ماهه (۹۲ ماه)، ۳ ماهه (۸۲ ماه) و ۱ ماهه (۶۲ ماه) ماهه (۹۰ ماه) رخ داده است. این بدین دلیل است که SPI کوتاه‌مدت حساسیت بیشتری به تغییرات شرایط رطوبتی دارد و با کوچکترین تغییر در بارش ماهانه نمایه به سرعت پاسخ می‌دهد، اما SPI برای بازه‌های زمانی میان و بلندمدت بارش ماهانه را در نظر دارد و با تأثیرپذیری از ماههای قبل می‌تواند از فراوانی بیشتری برخوردار گردد. برای مقایسه بهتر فراوانی این رخداد در یستگاه‌های مختلف منطقه نتایج آن‌ها در شکل (۲) ارائه شده است.

یافته‌ها و بحث

الف) فراوانی خشکسالی: برای بررسی فراوانی خشکسالی، نمایه بارش استاندارد شده برروی ارقام بارش ۲۶ ساله ایستگاه های انتخابی برازش داده شد و با در نظر گرفتن مقدار $(5/0 - 5/0 +)$ بعنوان وضعیت نرمال، فراوانی ماه های خشک برای بازه های زمانی ۱۲، ۳، ۱ و ۲۴ ماهه محاسبه و با توجه به مقادیر بدست آمده مقیاس زمانی ۱ و ۳ ماهه نماینده دوره کوتاه مدت، ۱۲ ماهه نماینده دوره میان مدت و ۲۴ ماهه برای بازه زمانی بلند مدت در نظر گرفته شد. از نظر میانگین فراوانی، رخداد خشکسالی در ایستگاه ها، بیشترین



شکل ۲: نمودار فراوانی رخداد خشکسالی با نمایه‌های زمانی متفاوت در ایستگاه‌های منتخب (محور Y تعداد ماه)

۷۳ ماه و بیجار با ۷۲ ماه دارای بیشترین فراوانی رخداد خشکسالی در بازه زمانی یکماهه بوده‌اند. کمترین فراوانی، رخداد خشکسالی، ۱ ماهه بین سال ۵۵

بر اساس شکل (۲) بیشترین فراوانی رخداد خشکسالی در دوره ۱ ماهه با ۷۵ ماه مربوط به ایستگاه قروه است و بعد از آن به ترتیب زیرینهای ایستگاه

ایستگاه‌های منتخب یکسان نیست و ممکن است ایستگاه‌هایی از شدت کمتری برخوردار بوده ولی دارای فراوانی بیشتری باشند. در مجموع بررسی میانگین شدت‌های مختلف خشکسالی در منطقه نشان می‌دهد که در هر چهار بازه زمانی محاسبه شده، فراوانی خشکسالی‌ها از شدت‌های کمتر به بیشتر کاهش می‌یابد و بیشتر خشکسالی‌های رخداده در منطقه از نوع ملایم و متوسط هستند. در بازه‌های زمانی مختلف نیز شدت‌های خشکسالی تغییر می‌یابد، بطوری که در SPI سه ماهه ۷۷ درصد (۴۸ ماه) خشکسالی‌های رخداده از نوع ملایم تا متوسط و ۲۳ درصد (۱۴ ماه) آنها از نوع شدید تا خیلی شدید هستند. در SPI سه ماهه ۷۷ درصد (۶۲ ماه) رخدادهای مشاهده شده ملایم تا متوسط و ۲۳ درصد (۱۹ ماه) شدید و خیلی شدید و در ۱۲ SPI (۷۴ ماه) درصد (۶۷ ماه) دارای خشکسالی ملایم تا متوسط و ۲۶ درصد (۲۳ ماه) دارای خشکسالی شدید تا بسیار شدید و در SPI سه ماهه ۷۸ درصد (۶۹ ماه) خشکسالی‌ها از شدت‌های ملایم تا متوسط و ۲۲ درصد (۱۹ ماه) آنها شدید و خیلی شدید هستند.

ماه مربوط به ایستگاه همدان و بروجرد است. در مقیاس زمانی ۳ ماهه بیشترین فراوانی رخداد خشکسالی با ۱۰۰ ماه مربوط به ایستگاه زرینه و کمترین فراوانی با ۶۳ ماه مربوط به ایستگاه دهلران است. در مقیاس زمانی ۱۲ ماهه ایستگاه اسلام‌آباد غرب با ۱۱۱ ماه بیشترین فراوانی رخداد خشکسالی را به خود اختصاص داده و پس از آن ایستگاه کنگاور با ۱۰ ماه قرار دارد. کمترین فراوانی رخداد خشکسالی ۱۲ ماهه نیز با ۷۸ ماه به ایستگاه کرمانشاه تعلق دارد. در بازه زمانی ۲۴ ماهه ایستگاه الیگودرز با ۱۰۳ ماه دارای بیشترین رخداد خشکسالی است و پس از آن ایستگاه‌های همدان و سندج با ۱۰۰ ماه در مرحله بعد قرار می‌گیرد. ایستگاه سرپل ذهاب نیز با ۷۸ ماه از کمترین فراوانی رخداد خشکسالی ۲۴ ماهه برخوردار بوده است.

ب) **شدت خشکسالی:** شدت‌های مختلف خشکسالی در هر چهار مقیاس زمانی ۳ و ۱۲ ماهه (کوتاه‌مدت)، ۱۲ ماهه (متوسط) و ۲۴ ماهه (بلندمدت) برای تمامی ایستگاه‌های منتخب در جدول (۱) ارائه شده است. در این جدول ملاحظه می‌شود که شدت خشکسالی‌های مشاهده شده در تمام

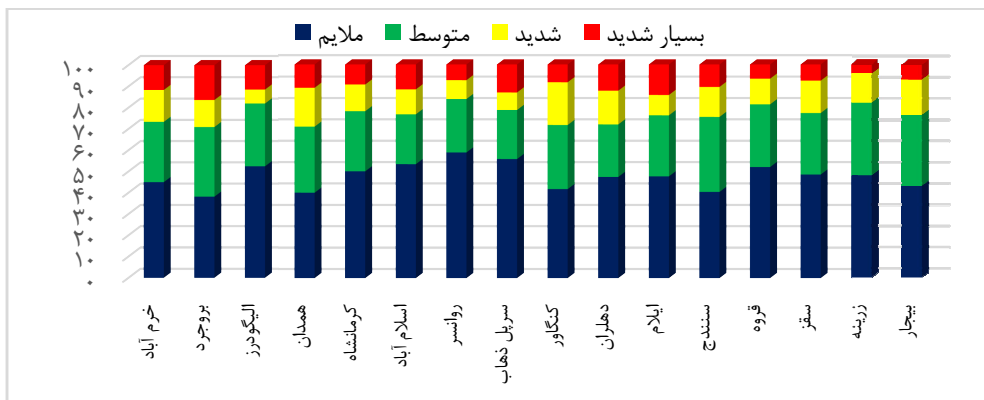
جدول ۱: شدت‌های مختلف خشکسالی در ایستگاه‌های منتخب

ایستگاه	سی پی ای															
	سی پی ای سه ماهه				سی پی ای دوازده ماهه				سی پی ای ۱۲ ماهه				سی پی ای ۱۲ ماهه			
	ملایم	متوجه	شدید	بسیار شدید	ملایم	متوجه	شدید	بسیار شدید	ملایم	متوجه	شدید	بسیار شدید	ملایم	متوجه	شدید	بسیار شدید
خرم آباد	۳۶	۴۰	۱۲	۰	۳۹	۳۷	۲۱	۰	۲۹	۲۴	۶	۱۳	۲۷	۱۷	۹	۷
بروجرد	۳۹	۲۸	۱۵	۰	۳۸	۳۷	۱۴	۲	۳۷	۲۲	۱۳	۷	۲۱	۱۸	۷	۹
الیگودرز	۵۰	۳۱	۲۱	۱	۳۰	۳۵	۱۹	۵	۴۷	۳۲	۳۲	۵	۳۲	۱۸	۴	۷
همدان	۵۲	۳۲	۹	۷	۳۶	۲۶	۲۱	۵	۳۹	۱۸	۹	۱۲	۲۲	۱۷	۱۰	۶
کرمانشاه	۴۲	۲۲	۷	۱۳	۳۸	۱۳	۱۶	۱۱	۳۷	۲۳	۸	۷	۳۲	۱۸	۸	۶
اسلام آباد	۴۸	۱۶	۲۹	۶	۵۷	۳۰	۱۷	۷	۴۶	۲۱	۲۴	۷	۳۲	۱۴	۷	۷
روانسر	۳۷	۵۹	۱	۰	۶۴	۱۹	۱۳	۱	۳۶	۲۶	۹	۶	۴۰	۱۷	۶	۵
سرپل ذهاب	۲۶	۱۶	۱۸	۱۸	۳۰	۳۲	۱۱	۱۳	۴۵	۱۷	۱۰	۸	۳۴	۱۴	۵	۸
کنگاور	۴۲	۲۲	۷	۱۳	۳۸	۱۳	۱۶	۱۱	۴۳	۲۵	۱۲	۷	۲۵	۱۸	۱۲	۵
دهلران	۳۹	۲۳	۱۵	۶	۵۲	۱۴	۱۵	۸	۳۳	۱۵	۸	۱۰	۲۷	۱۴	۹	۷
ایلام	۳۲	۳۲	۱۳	۱۱	۲۹	۲۶	۱۹	۱۲	۳۵	۱۷	۱۱	۹	۳۰	۱۸	۶	۹
سنندج	۵۸	۲۴	۱۸	۰	۴۲	۲۳	۲۲	۵	۳۴	۲۵	۲۵	۵	۲۳	۲۰	۸	۶
قروه	۴۲	۳۵	۱۱	۱	۴۲	۲۸	۹	۷	۴۶	۲۷	۱۵	۷	۳۹	۲۲	۹	۵
سقز	۴۴	۲۸	۱۷	۱	۴۳	۲۴	۱۲	۱۰	۳۴	۳۰	۱۴	۷	۳۲	۱۹	۱۰	۵
زرینه	۵۰	۲۱	۲۰	۱	۵۱	۲۰	۱۸	۵	۵۲	۲۷	۱۷	۴	۳۵	۲۵	۱۰	۳
بیجار	۳۴	۲۶	۱۸	۴	۴۴	۲۵	۱۵	۷	۴۳	۳۱	۱۵	۷	۳۱	۲۴	۱۲	۵

۴۱	۲۸	۱۴	۵	۴۲	۲۵	۱۶	۷	۳۹	۲۳	۱۲	۷	۳۰	۱۸	۸	۶	میانگین
----	----	----	---	----	----	----	---	----	----	----	---	----	----	---	---	---------

مطالعه کمترین درصد خشکسالی بسیارشده‌ید(۴ درصد) رخ داده است. در مجموع هرچند بیشترین درصد شدت‌ها در کل منطقه متعلق به شدت‌های ملایم و متوسط و کمترین درصد متعلق به شدت‌های شدید و بسیارشده‌ید است، اما می‌توان ایستگاه‌های بروجرد، همدان و دهلران را بحرانی‌ترین نقاط منطقه دانست. بطوری که به ترتیب ۲۸ و ۲۹ درصد خشکسالی‌های آن‌ها از نوع شدید تا بسیار شدید است. ایستگاه‌های زرینه، روانسر و قروه را می‌توان مناطق کم‌آسیب‌تر از نظر خشکسالی در نظر گرفت؛ چون به ترتیب ۸۲,۸۴ و ۸۱ درصد خشکسالی‌های آن‌ها از نوع ملایم و متوسط است. این حالت بدلیل رخداد مکرر خشکسالی در ایستگاه زرینه و قروه می‌باشد که سبب انطباق شرایط محیطی به این پدیده شده است.

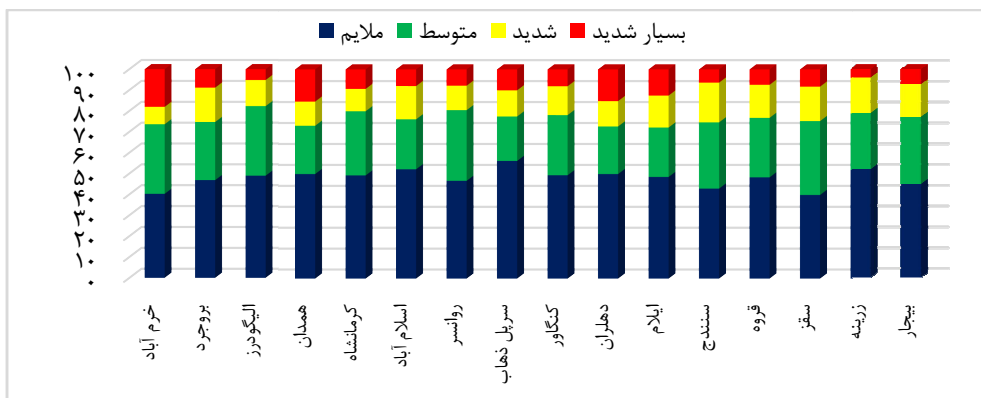
برای بررسی وضعیت خشکسالی در ایستگاه‌های منتخب درصد رخداد آن به تفکیک شدت‌های مختلف برای هر یک از بازه‌های زمانی بصورت نمودارهای ارائه شده که در ادامه ارائه شده‌اند. شکل (۳) درصد رخداد خشکسالی‌های ماهانه (۱ماهه) برای شدت‌های مختلف را نشان می‌دهد. با توجه به این شکل دیده می‌شود که شدت‌های خشکسالی در ایستگاه‌های منطقه یکسان نیست. مثلاً گرچه ایستگاه‌های قروه و زرینه دارای بیشترین فراوانی رخداد هستند ولی بیشتر خشکسالی‌های آن‌ها از نوع متوسط و به‌ویژه ملایم است. ایستگاه بروجرد فراوانی رخداد آن به مراتب کمتر از ایستگاه‌های پیشگفته است، اما بیشترین درصد رخداد خشکسالی‌های بسیار شدید (۱۶ درصد) را در این بازه‌زمانی به خود اختصاص داده است. در حالی که در ایستگاه زرینه طی دوره مورد



شکل ۳: درصد رخداد خشکسالی به تفکیک شدت‌های مختلف در بازه زمانی ۱ ماهه (محور Y به درصد)

این بازه‌زمانی به خود اختصاص داده است. در حالی که ایستگاه الیگودرز طی دوره پژوهش (۱۸ درصد) خشکسالی‌های شدید و بسیارشده‌ید را به خود اختصاص داده است. در بازه زمانی ۳ ماهه ایستگاه‌های ایلام با ۲۸، دهلران و همدان با ۲۷ و خرم‌آباد با ۲۶ درصد خشکسالی شدید و بسیارشده‌ید بحرانی‌ترین ایستگاه‌های منطقه و ایستگاه‌های الیگودرز با ۱۸، زرینه با ۲۱ و بیجار با ۲۳ درصد کم‌آسیب‌ترین ایستگاه‌های منطقه بوده‌اند.

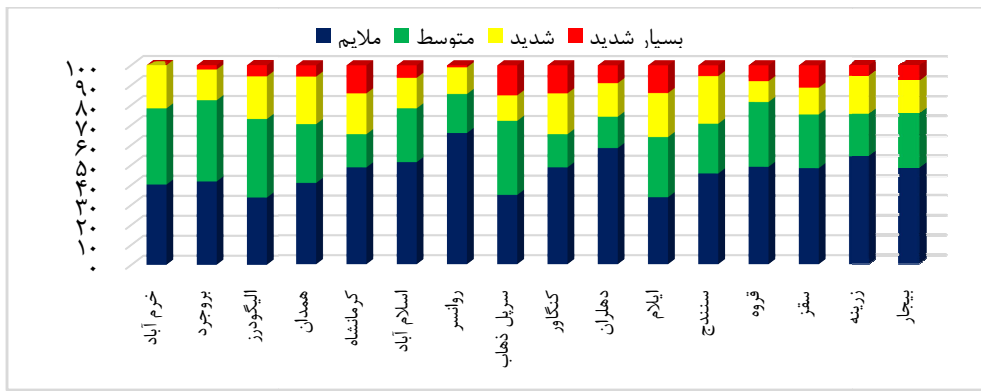
شکل (۴) درصد رخداد خشکسالی‌های فصلی (۳ماهه) برای شدت‌های مختلف را نشان می‌دهد. با توجه به شکل یادشده مشخص می‌گردد که شدت‌های خشکسالی در ایستگاه‌های منطقه یکسان نیست. گرچه ایستگاه‌های زرینه و الیگودرز دارای بیشترین فراوانی رخداد هستند ولی بیشتر خشکسالی‌های آن‌ها از نوع متوسط و ملایم است. ایستگاه ایلام که فراوانی رخداد آن به مراتب کمتر از ایستگاه‌های دیگر است اما بیشترین درصد رخداد خشکسالی‌های شدید و بسیارشده‌ید (۲۸ درصد) را در



شکل ۴: درصد رخداد خشکسالی به تفکیک شدت‌های مختلف در بازه زمانی ۳ ماهه (محور Y به درصد)

خشکسالی‌های آن از نوع شدید (۲۱ درصد) و خیلی شدید (۱۴ درصد) است. بیشترین درصد خشکسالی بسیارشدید با ۱۵ درصد متعلق به ایستگاه سرپل ذهاب، خشکسالی شدید با ۲۴ درصد متعلق به ایستگاه همدان، خشکسالی متوسط با ۴۱ درصد متعلق به ایستگاه بروجرد و خشکسالی ملایم با ۶۶ درصد متعلق به ایستگاه روانسر است. ایستگاه‌های کرمانشاه، کنگاور و همدان با حداکثر شدت‌های بالای در حداد بحرانی‌ترین نقاط و روانسر، خرم‌آباد و اسلام‌آباد غرب با حداقل شدت‌ها کم‌آسیب‌ترین نقاط منطقه در مقیاس سالانه هستند.

شکل (۵) درصد رخداد شدت‌های مختلف خشکسالی‌های سالانه (۱۲SPI) را نشان می‌دهد. با توجه به این شکل مشاهده می‌شود که همچون دوره زمانی کوتاه‌مدت نقاط با شدت‌های بالای خشکسالی با مقادیر بالای فراوانی منطبق نمی‌باشد بطوری که ایستگاه خرم‌آباد که در این زمان از فراوانی بالایی برخوردار بوده است درصدی از خشکسالی بسیارشدید را تجربه نکرده است و بیش از ۷۵ درصد خشکسالی‌های آن از نوع ملایم (۴۰ درصد) و متوسط (۳۸ درصد) است. در حالی که ایستگاه کرمانشاه که دارای کمترین فراوانی رخداد بوده است، ۳۵ درصد



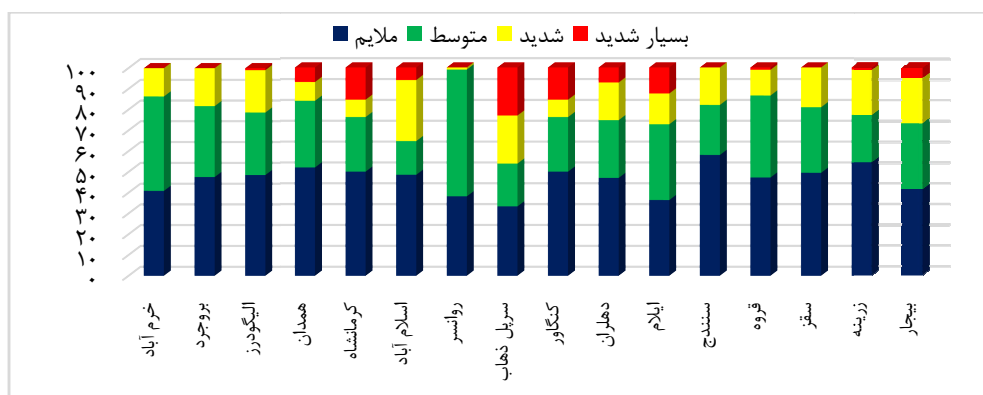
شکل ۵: درصد رخداد خشکسالی به تفکیک شدت‌های مختلف در بازه زمانی ۱۲ ماهه (محور Y به درصد)

این مقیاس زمانی تعداد ایستگاه‌هایی که رخدادهای بسیارشدید را تجربه نکرده‌اند نسبت به بازه‌های زمانی دیگر افزایش یافته و از یک ایستگاه در ۱۲SPI به پنج ایستگاه رسیده است. ایستگاه سنترج که در این بازه زمانی از فراوانی بالایی برخوردار است، ۸۲ درصد

شکل (۶) وضعیت خشکسالی بلند مدت (۲۴SPI) ماهه) منطقه را نشان می‌دهد. بر اساس این شکل بیشترین درصد رخدادهای خیلی شدید به ترتیب متعلق به ایستگاه سرپل ذهاب با ۲۳ درصد (در حالی که از کمترین فراوانی رخداد برخوردار می‌باشد). در

افزوده شده است. بحرانی ترین نقاط منطقه عبارتند از سرپل ذهاب، کرمانشاه و ایلام و کم‌آسیب‌ترین نقاط شامل روانسر و خرم‌آباد است.

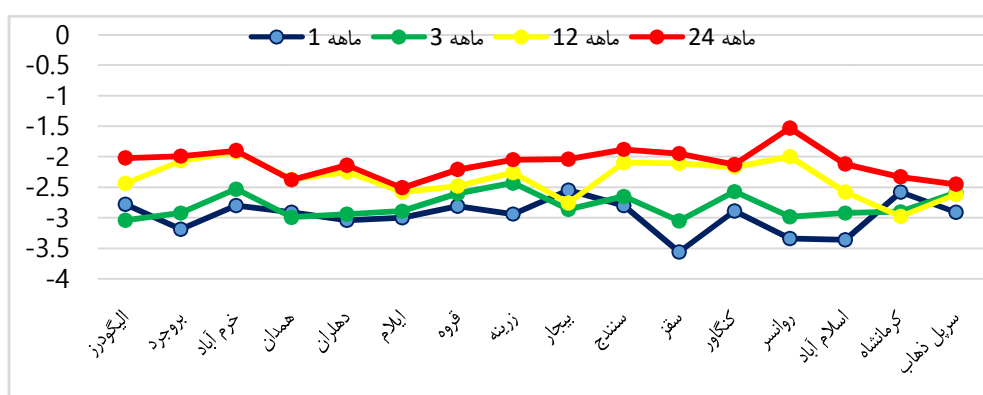
خشکسالی‌های آن از نوع ملایم (۵۸ درصد) و متوسط ۲۴ (درصد) بوده است. در مجموع در بازه زمانی ۲۴ ماهه از فراوانی خشکسالی‌های شدید و بسیارشده کاسته و به فراوانی خشکسالی‌های متوسط و ملایم



شکل ۶: درصد رخداد خشکسالی به تفکیک شدت‌های مختلف در بازه زمانی ۲۴ ماهه (محور Y به درصد)

تدابوم و شدت بالای خشکسالی در منطقه می باشد. حداکثر بیشینه خشکسالی در SPI یک ماهه با $-3/56$ متعلق به ایستگاه سقز و پس از آن با $-3/36$ متعلق به ایستگاه اسلام‌آباد غرب است. در SPI ۳ ماهه حداکثر و حداقل بیشینه رخداد به ترتیب با $-3/05$ و $-2/43$ متعلق به ایستگاه‌های سقز و زرینه‌آباتو می‌باشد. در بازه زمانی ۱۲ ماهه ایستگاه کرمانشاه با $-2/98$ خشک‌ترین ایستگاه منطقه به شمار می‌رود. همچنین ایستگاه ایلام با $-2/51$ - حداکثر و روانسر با $-1/53$ حداقل بیشینه شدت خشکسالی در مقیاس ۲۴ ماهه ای به خود اختصاص داده‌اند.

شکل (۷) بیشینه شدت خشکسالی ها مقیاس های زمانی مختلف برای تمامی ایستگاه های منتخب را نشان می هد. بر اساس این شکل در اکثر ایستگاه ها بیشینه شدت خشکسالی ها طی دوره مورد مطالعه به ترتیب در مقیاس زمانی ۱ ماهه، ۳ ماهه، ۱۲ ماهه و ۲۴ ماهه مشاهده شده است. این حالت ناشی از اثر عمدۀ نوسانات رطوبتی بارش ماهانه نسبت به بارش فصلی، سالانه و ۲۴ ماهه است. بنابراین واضح است که SPI یک ماهه به کاهش بارش حساس می باشد. اما با افزایش بازه زمانی و تعداد ماهها بارش یک ماه اثر کمتری بر کل بارش دارد. در موقعي که شدت SPI های ۱۲ یا ۲۴ ماهه بیشتر می باشد بدلا



شکل ۷: نمودار بیشینه شدت خشکسالی ها در مقیاس های زمانی مختلف (محور Y شدت SPI)

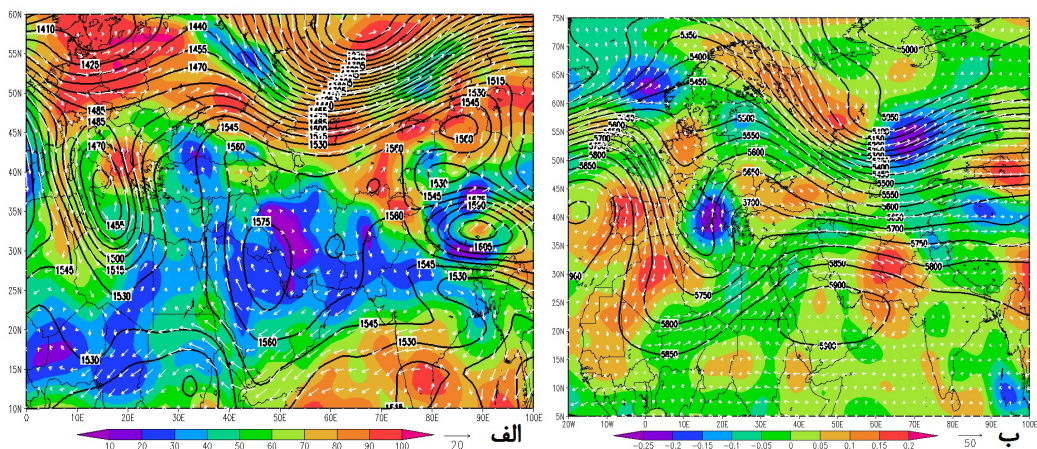
جدول ۲: ویژگی‌های آماری الگوهای گردشی رخداد خشکسالی

SPI مقدار	همبستگی درون گروهی	روز نماینده	درصد رخداد	روزهای عضو	الگوی گردشی
-1/۶۴	0/۸۹	۱۹۹۰/۱۵ نوامبر	۱۱/۱۸	۶۵	۱
-1/۸۹	0/۸۴	۲۰۰۸/۶ آوریل	۴۲/۴۱	۲۳۲	۲
-1/۷	0/۸۱	۲۰۰۹/۴ زانویه	۲۴/۱۳	۱۳۲	۳
-1/۶۶	0/۷۹	۲۰۱۳/۱۹ فوریه	۲۱/۵۷	۱۱۸	۴

منطقه شده و جوی پایدار را در منطقه حاکم کرده است. در تراز ۵۰۰ هـ پ شرایط مشابه تراز ۸۵۰ هـ پ وجود دارد (شکل، ۸ - ب)، در این روز ناوه عمیقی بر روی مدیترانه قرار دارد که تا مرکز آفریقا امتداد پیدا کرده است. در جنوب منطقه پژوهش در عربستان و خلیج فارس یک هسته پر ارتفاع با پریند ۵۹۰۰ ژئوپتانسیل متر شکل گرفته که با جریانات واچرخندی خود موجب فرارفت هوای گرم و خشک بر روی منطقه شده و پشتۀ حاصل از آن بر روی منطقه قرار گرفته به طوری که منطقه پژوهش در جلو محور پشتۀ قرار داشته و جریانات بر روی ایران تقریباً به شکل زناری تا شمال غربی است. نقشه امگا نیز نشانگر مقادیر مثبت و پایداری هوا در منطقه است که سبب عدم بارش شده است.

ج) واکاوی الگوهای همدید روزانه

- الگوی شارش‌های زنگاری ناشی از پر ارتفاع (پانزدهم نوامبر ۱۹۹۰): میزان بارش این روز تقریباً در کل ایستگاهها صفر است. با توجه به نقشه تراز ۸۵۰ هـ پ شکل (۸ - الف)، در این روز ریزش هوای سرد عرض‌های بالا بر روی مدیترانه غربی وجود دارد و سبب ایجاد یک هسته کم ارتفاع شده است. در شمال عربستان و جنوب غربی ایران هسته پر ارتفاع بسته با پریند ۱۵۷۵ ژئوپتانسیل متر شکل گرفته که با گردش واچرخندی خود موجب فرارفت هوای عرض‌های جنوبی از صحرا عربستان بر روی منطقه پژوهش شده است. این هسته پر ارتفاع مانع از ورود سامانه‌های کم‌فشار مرتبط به منطقه شده و به همین دلیل میزان نسبی بر روی منطقه پژوهش به کمتر از ۲۰ درصد رسیده است که در مجموع سبب نبودبارش در



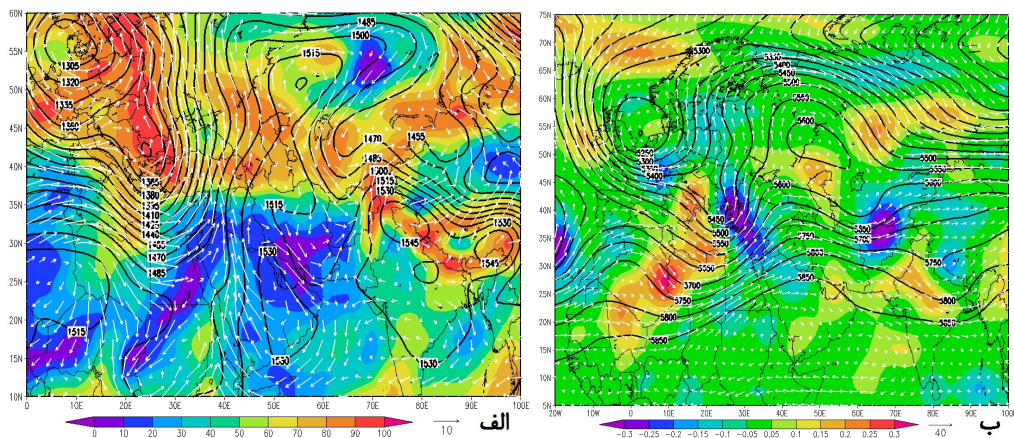
شکل ۸: روز ۱۵ نوامبر ۱۹۹۰: نقشه ارتفاع ژئوپتانسیل (پریند مشکی)، بردار باد (پیکان سفید) و نمنسی (پهنه‌های رنگی) در تراز ۸۵۰ هـ پ (الف) و ارتفاع ژئوپتانسیل (پریند مشکی)، بردار باد (پیکان سفید) و امگا (پهنه‌های رنگی) در تراز ۵۰۰ هـ پ (ب).

کم ارتفاع شمال شرقی (در تبت) قرار دارد. سلول پر ارتفاع بسته بر روی عربستان شکل گرفته و تقریباً بر روی کل منطقه پژوهش و عرض‌های بالاتر تاثیر

- الگوی پشتۀ (ششم آوریل ۲۰۰۸): میزان بارش این روز در کل ایستگاهها صفر است. با توجه به نقشه تراز ۸۵۰ هـ پ (شکل، ۹ - الف)، ایران بین ناوه اروپا و

عربستان از حالت معمول خود (جريانات زناری) خارج شده و به صورت نصف‌النهاری درآمده است و با امتداد جنوبی-شمالی به عرض‌های بالا کشیده شده و سراسر غرب ایران را فرا گرفته است. این حالت سبب جريانات شمال‌غربی بر روی ایران و منطقه پژوهش شده است. نقشه امگا نشان از وجود مقادیر مثبت امگا و به تبع آن پایداری و شرایط جوی آرام است.

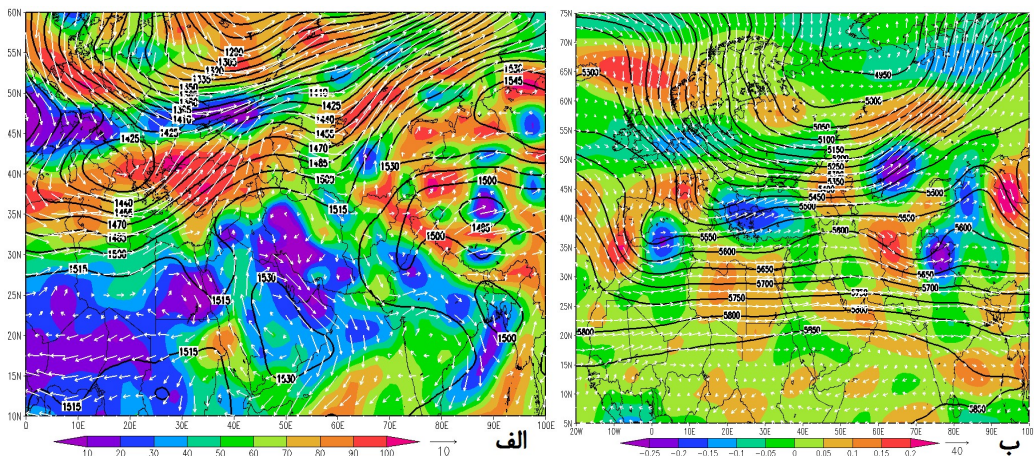
گذاشته است و با چرخش واچرخندی قوی مانع از ورود سامانه‌های مرطوب از دریای سرخ و مدیترانه به کشور شده است. مقدار نسبی در منطقه به کمتر از ۴۰ درصد می‌رسد، که این میزان برای ایجاد بارش بسیار ناجیز است. در تراز ۵۰۰ هپ (شکل، ۹-ب) شرایط تقریباً مانند تراز ۸۵۰ هپ است. در این تراز ناوه عمیق قطبی با مرکز بسته از اسکاندیناوی تا شمال‌شرق آفریقا امتداد یافته و پر ارتفاع جنوب



شکل ۹: روز ۶ آوریل ۲۰۰۸: نقشه ارتفاع ژئوپتانسیل (پربند مشکی)، بردار باد (پیکان سفید) و نسبی (پهن‌های رنگی) در تراز ۸۵۰ هپ (الف) و ارتفاع ژئوپتانسیل (پربند مشکی)، بردار باد (پیکان سفید) و امگا (پهن‌های رنگی) در تراز ۵۰۰ هپ (ب).

می‌دهد که برای وقوع بارش کافی نیست. در تراز ۵۰۰ هپ (شکل، ۱۰-ب) شارشها‌ی زناری غربی-شرقی بر روی ایران دیده می‌شود. پربند ۵۸۰۰ ژئوپتانسیل متر از موقعیت نرمال خود (جنوب‌غرب عربستان) به سمت عرض‌های بالا جابه‌جا شده و زبانه‌هایی از آن بر روی منطقه پژوهش تأثیر گذاشته است. واکاوی‌نشان امگا نشان می‌دهد که در منطقه امگایی مثبت وجود دارد که نشان از پایداری و عدم صعود هوا استکه به تبع آن عدم بارش در منطقه را سبب شده است.

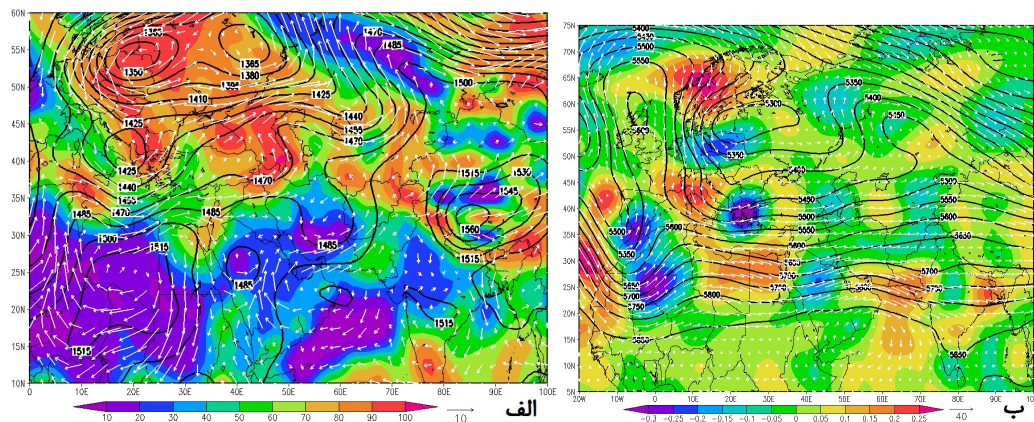
- الگوی شارشها‌ی زناری (چهارم ژانویه ۲۰۰۹): میزان بارش این روز در کل ایستگاه‌ها صفر می‌باشد. با توجه به نقشه تراز ۸۵۰ هپ (شکل، ۱۰-الف)، سلول بسته پر ارتفاع بر روی عربستان دیده می‌شود که سراسر جو ایران را تحت تاثیر قرار داده است. هسته پر ارتفاع روی عربستان با جريانات واچرخندی خود مانع از ورود سامانه‌های کم ارتفاع بارانزا از مدیترانه به منطقه پژوهش (غرب میانی ایران) شده است. الگوی نسبی، میزان کمتر از ۳۰ درصد را در منطقه نشان



شکل ۱۰: روز ۴ ژانویه ۲۰۰۹: نقشه ارتفاع ژئوپتانسیل (پربند مشکی)، بردار باد (پیکان سفید) و نمنسبی (پهنه‌های رنگی) در تراز ۵۰۰ هپ (الف) و ارتفاع ژئوپتانسیل (پربند مشکی)، بردار باد (پیکان سفید) و امگا (پهنه‌های رنگی) در تراز ۵۰۰ هپ (ب).

به سایر مناطق رطوبت بالاتری است که با وجود الگوی کلی منطقه شرایط بارش فراهم نبوده است. در تراز ۵۰۰ هپ (شکل، ۱۱-ب)، ناوه قطبی به عرض‌های پایین کشیده شده و تقریباً بر روی مدیترانه قرار گرفته است، اما شارشها به ایران نرسیده است. در این نقشه‌شارشها بر روی ایران بیشتر به شکل زناری است، اما به دلیل شکل تقریباً نصف‌النهاری پراارتفاع جنوب عربستان، دارای انحنا شده‌اند و تقریباً به شکل جنوب‌غربی-شمال‌شرقی ضعیف امتداد دارد. واکاوینقشه امگا پایداری هوا را نشان می‌دهد که به سبب آن بارشی در منطقه رخ نداده است.

- الگویشارش‌های زناری (نوزدهم فوریه ۲۰۱۳): میزان بارش این روز تقریباً در کل ایستگاه‌ها صفر است. با توجه به نقشه تراز ۸۵۰ هپ (شکل، ۱۱-الف)، در این روز هسته کم ارتفاع در شمال دریای مدیترانه قرار گرفته و با چرخش چرخدنی خود رطوبت را به عرض‌های بالا انتقال می‌دهد. در عربستان هسته پراارتفاع با پربند ۱۴۸۵ ژئوپتانسیل متر شکل گرفته که کل نیمه‌جنوبی ایران را تحت استیلای خود درآورده است و باعث انتقال هوای عرض‌های جنوبی به مناطق غربی ایران می‌شود. میزان نمنسبی نیمه شمالی منطقه پژوهش نزدیک به ۶۰ درصد می‌باشد که نسبت

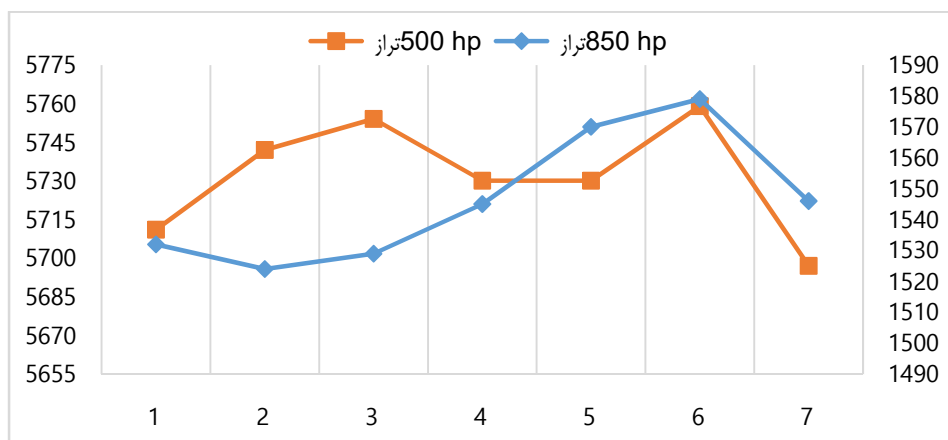


شکل ۱۱: روز ۱۹ فوریه ۲۰۱۳: نقشه ارتفاع ژئوپتانسیل (پربند مشکی)، بردار باد (پیکان سفید) و نمنسبی (پهنه‌های رنگی) در تراز ۸۵۰ هپ (الف) و ارتفاع ژئوپتانسیل (پربند مشکی)، بردار باد (پیکان سفید) و امگا (پهنه‌های رنگی) در تراز ۵۰۰ هپ (ب).

بادهای غربی و نفوذ پارتفاع جنب حاره، تقویت و به اوج رسیدن و در نهایت عقب‌نشینی تدریجی آن است. بطوریکه در ابتدای دوره تراز ارتفاعی ۵۰۰ هپ افزایش داشته و در انتهای دوره هر دو تراز دچار افزایش ارتفاع شده‌اند که ناشی از گسترش پارتفاع جنب حاره است.

د) واکاوی دوره‌های خشک

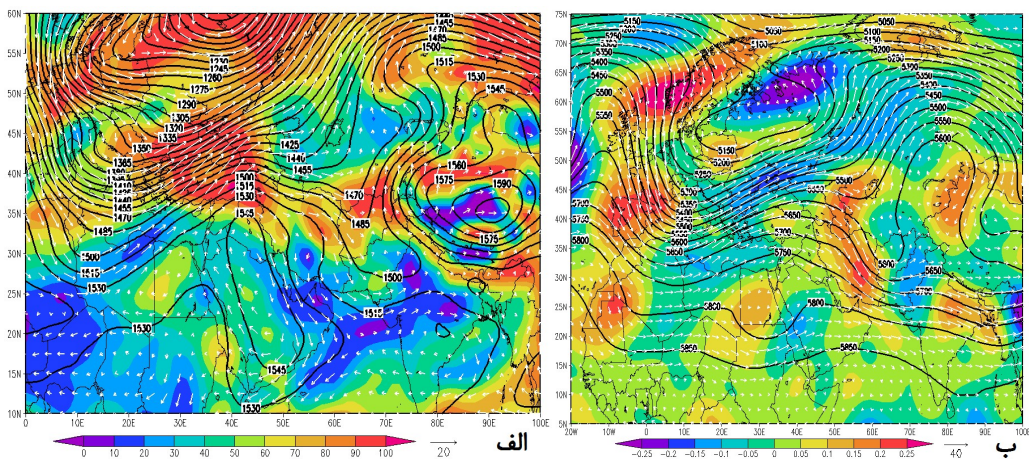
- دوم تا هشتم ژانویه ۱۹۹۵: مجموع بارش رخداده در این دوره صفر است. برای نشان دادن تغییرات ارتفاع ترازهای میانی و پایین جوّطی این دوره از نمودار هافمولر استفاده شده است (شکل، ۱۲). این نمودار به خوبی نشان‌دهنده چگونگی عقب‌نشینی



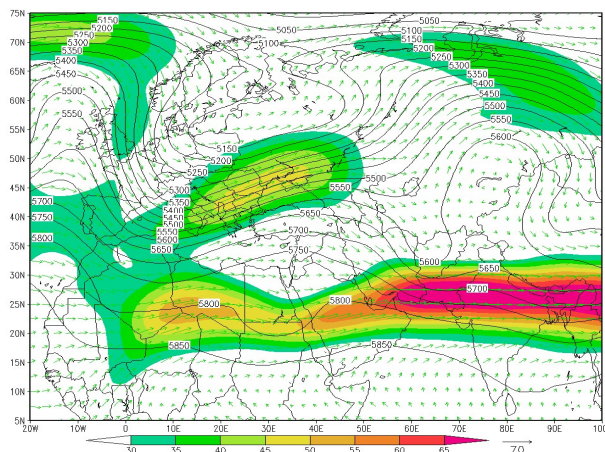
شکل ۱۲: نمودار هافمولر ایستگاه کرمانشاه ۲ تا ۸ ژانویه ۱۹۹۵ (محور ۲ سمت ارتفاع تراز ۸۵۰ هپ و محور ۷ سمت چپ ارتفاع تراز ۵۰۰ هپ به متر و محور افقی روزهای دوره بارشی است).

عربستان تقویت شده و پشتهای با امتداد جنوبی- شمالی از عربستان تا حوالی دریای سیاه گسترش یافته است و منطقه پژوهش در جلو محور پشته قرار گرفته است. در مجموع وجود امگای مثبت و قرارگیری منطقه پژوهش جلوی محور پشته و جریانات شمال‌غربی علت نبود بارش در منطقه است. بررسی نقشه جت‌باد (شکل، ۱۴) نشان می‌دهد که به دلیل قرارگیری منطقه پژوهش در منطقه خروجی سمت راست (ربع سوم) جت قطبی شرایط پایداری هوا فراهم است. زیرا در این منطقه از جت مقدار توابی چینشی افزایش و مساحت توده هوا کاهش یافته و این حالت سبب جمع‌شدگی هوا و ایجاد حرکات فرونشینی شده است. همچنین جت جنب‌حاره در عرض‌های ۲۰ تا ۳۰ درجه قرار دارد و منطقه پژوهش در بخش ورودی سمت چپ جت جنب‌حاره قرار گرفته است و شرایط فرونشینی و پایداری هوا فراهم شده است.

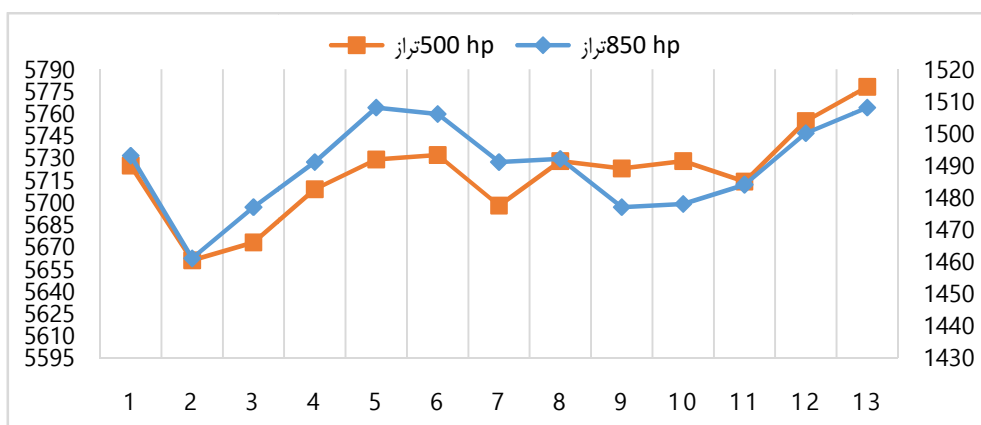
واکاوی همدید نشان می‌دهد که در تراز ۸۵۰ هپ (شکل، ۱۳-الف) کم ارتفاع‌بیرونی روی ایتالیا و پشتهای بر روی شرق ترکیه قرارگرفته که منطقه پژوهش جلوی محور آن قرار دارد. این شرایط سبب ایجاد پایداری و فرونشینی هوا شده و بارش در منطقه ثبت نشده است. در قسمت جنوبی منطقه پژوهش هسته پارتفاع بسته با پریند ۱۵۴۵ ژئوپتانسیل متر بر روی عربستان و عراق شکل گرفته و با جریان واچرخندی هوا خشک را بر روی منطقه انتقال می‌دهد. غرب میانی ایران تحت استیلای پریند ۱۵۳۰ ژئوپتانسیل متر درآمده است. میزان نسبی هوا بین ۷۰ تا ۹۰ درصد است که نبود بارش در این دوره احتمالاً به دلیل کاهش دمای هوا می‌باشد. وضعیت تراز ۵۰۰ هپ مشابه با تراز پایینی جوّاست. با توجه به شکل (۱۳-ب) ناوه روی اروپا قوی‌تر شده و تا مرکز مدیترانه کشیده شده و با محور شمالی-جنوبی تا روی آفریقا امتداد دارد. پرفشار جنب‌حاره‌ای جنوب



شکل ۱۳: روز دوم تا هشتم ۱۹۹۵ زانویه: نقشه ارتفاع ژئوبتانسیل (پربند مشکی)، بردار باد (پیکان سفید) و نسبتی (پهنه‌های رنگی) در تراز ۸۵۰ هپ (الف) و ارتفاع ژئوبتانسیل (پربند مشکی)، بردار باد (پیکان سفید) و امگا (پهنه‌های رنگی) در تراز ۵۰۰ هپ (ب).



شکل ۱۴: روز دوم تا هشتم ۱۹۹۵ زانویه: نقشه میانگین جت‌باد (پهنه‌های رنگی)، بردار باد (پیکان‌های سبز) تراز ۲۵۰ هپ و ارتفاع ژئوبتانسیل (پربند مشکی) تراز ۵۰۰ هپ

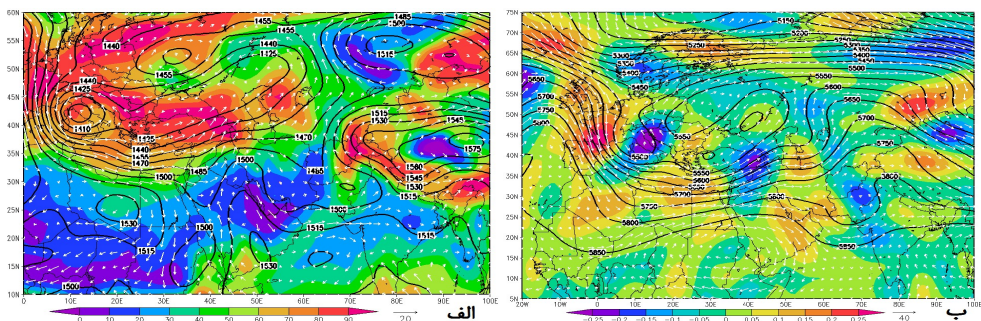


شکل ۱۵: نمودار هاف‌مولر ایستگاه کرمانشاه ۱۱ تا ۲۳ آوریل ۲۰۰۱ (محور ۷ سمت راست ارتفاع تراز ۸۵۰ هپ و محور ۷ سمت چپ ارتفاع تراز ۵۰۰ هپ به متر و محور افقی روزهای دوره بارشی است).

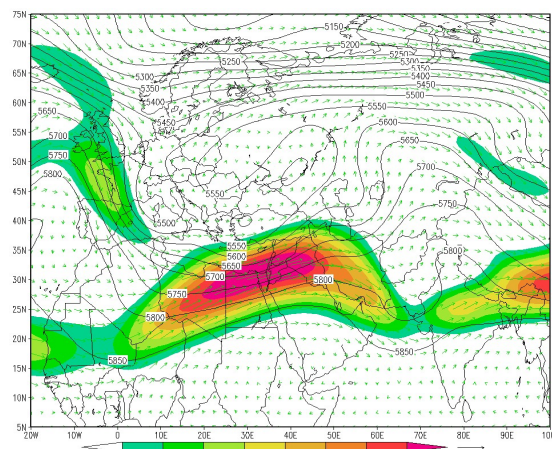
مشابه تراز ۸۵۰ هـ پ است. در این تراز پربند پرارتفاع جنوب عربستان (۵۸۴۰ ژئوپتانسیل متر) تا شمال خلیج فارس نفوذ کرده و باعث ایجاد پشته نه چندان قوی در غرب ایران شده است. به لحاظ پویشی شرایط برای فرازش ضعیف هوا و ناپایداری فراهم بوده، اما با توجه به ورود هوا گرم و خشک عرض‌های پایین و قرارگیری جلوی محور پشته، شرایط جوی به صورت پایدار است. واکاوی الگوی جت‌باد (شکل ۱۷-پ) نشان می‌دهد که جت جنب‌حاره تا عرض ۴۰ درجه پیشروی کرده اما هسته اصلی آن روی شمال عربستان، عراق و سوریه قرار دارد. منطقه پژوهش در قسمت راست خروجی قرار دارد که این حالت نشانگر فرونیشت هواست که به کاهش شدید بارش در منطقه کمک کرده است.

- یازدهم تا بیست و سوم آوریل ۲۰۰۱: مجموع بارش این دوره صفر است. همانطور که نمودار هاف‌مولر (شکل ۱۵) نشان می‌دهد روند کلی ارتفاع ترازهای ۸۵۰ و ۵۰۰ هـ پ افزایش ارتفاع ژئوپتانسیل است.

واکاوی همدید تراز ۸۵۰ هـ پ (شکل ۱۶-الف) نشان‌دهنده حاکمیت پشته در کشور و منطقه پژوهش است. این پشته دارای امتداد شمالی-جنوبی بوده و منطقه پژوهش جلوی محور آن قرار گرفته است. بر روی قسمت جنوبی عربستان هسته پرارتفاع قرار گرفته که با چرخش واچرخندی خود هوا خشک را به سوی منطقه پژوهش فرارفت می‌دهد، میزان نسبی پایین جو منطقه نشانگر نفوذ هوا گرم و خشک عرض‌های جنب‌حاره به منطقه است. واکاوی تراز ۵۰۰ هـ پ (شکل ۱۶-ب) نیز نشانگر شرایط



شکل ۱۶: روز ۱۱ تا ۲۳ آوریل ۲۰۰۱: نقشه ارتفاع ژئوپتانسیل (پربند مشکی)، بردار باد (بیکان سفید) و نمنسبی (پهنه‌های رنگی) در تراز ۸۵۰ هـ پ (الف) و ارتفاع ژئوپتانسیل (پربند مشکی)، بردار باد (بیکان سفید) و امگا (پهنه‌های رنگی) در تراز ۵۰۰ هـ پ (ب).

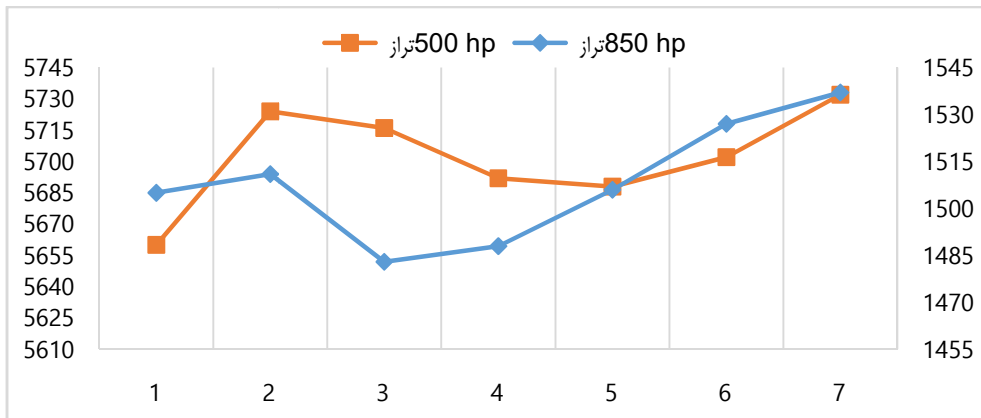


شکل ۱۷: روز ۱۱ تا ۲۳ آوریل ۲۰۰۱: نقشه میانگین جت‌باد (پهنه‌های رنگی)، بردار باد (بیکانهای سبز)

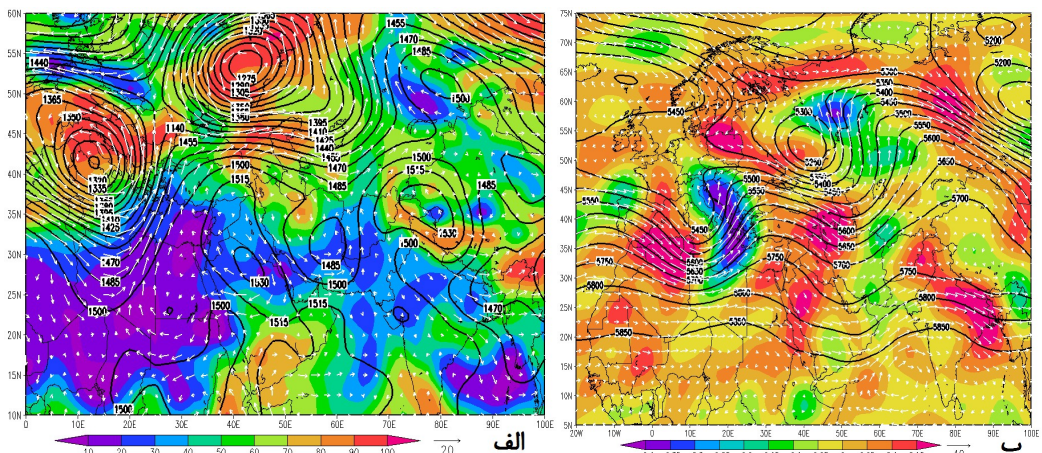
تراز ۲۵۰ هـپ و ارتفاع ژئوپتانسیل (پربند مشکی) تراز ۵۰۰ هـپ

از نمودار هافمولر استفاده شده است (شکل، ۱۸). این نمودار نشانگر افزایش ارتفاع ژئوپتانسیل در هر دو تراز می‌باشد.

- بیست و پنجم تا سی‌یکم مارس ۲۰۱۳: مجموع بارش این دوره تقریباً صفر است. برای نشان دادن تغییرات ارتفاع ترازهای مختلف جوّ طی این دوره



شکل ۱۸: نمودار هافمولر ایستگاه کرمانشاه ۲۵ تا ۳۱ مارس ۲۰۱۳ (محور ۲ سمت راست ارتفاع تراز ۸۵۰ هـپ و محور ۷ سمت چپ ارتفاع تراز ۵۰۰ هـپ به متر و محور افقی روزهای دوره بارشی است).



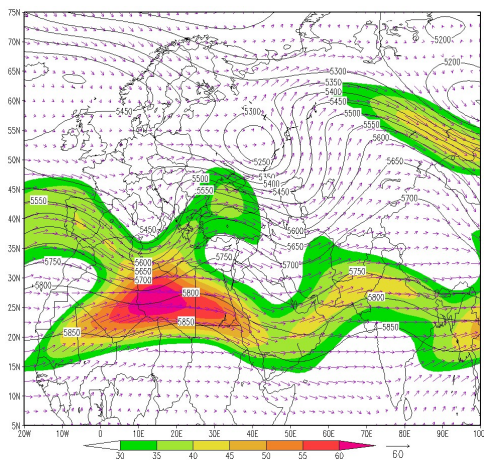
شکل ۱۹: روز ۲۵ تا ۳۱ مارس ۲۰۱۳؛ نقشه ارتفاع ژئوپتانسیل (پربند مشکی)، بردار باد (پیکان سفید) و نمنسی (پهنه‌های رنگی) در تراز ۸۵۰ هـپ (الف) و ارتفاع ژئوپتانسیل (پربند مشکی)، بردار باد (پیکان سفید) و امگا (پهنه‌های رنگی) در تراز ۵۰۰ هـپ (ب).

روی منطقه پژوهش شده است. میزان رطوبت نسبی هوا کمتر از ۶۰ درصد است که بواسطه قرارگیری منطقه پژوهش در شرق محور پشتہ بوده که این موجب فرونشینی و پایداری هوا و نبود بارش در منطقه شده است. در تراز ۵۰۰ هـپ (شکل، ۱۹-ب) ناوه عمیقی روی غرب مدیترانه قرار گرفته که محور آن تا روی سودان امتداد دارد و در مقابل پرارتفاع جنوب عربستان به عرض‌های بالا جابجا شده و پشتہ

واکاوی همدید تراز ۸۵۰ هـپ (شکل، ۱۹-الف) نشانگر پشتهدای در شمال‌غرب و کم ارتفاعی در شمال‌شرق ایران است که امتداد محور آن‌ها شمالی-جنوبی می‌باشد. در غرب مدیترانه مرکز چرخدی دیده می‌شود که با چرخش پاد ساعتگرد خود رطوبت را به عرض‌های بالا انتقال می‌دهد. بر روی عربستان و عراق هسته پرارتفاع با پربند ۱۵۳۰ ژئوپتانسیل متر شکل گرفته که موجب فرارفت هوای سرد و خشک بر

ایران و بر روی دریا سیاه هسته فرعی جت تشکیل شده است. در این الگو منطقه پژوهش در بخش خروجی سمت راست جت قرار دارد. منطقه‌ای که در آن جریانات هوا فرونشینی داشته و پایداری جو سبب عدم ریزش بارش شده است.

حاصله وارد منطقه پژوهش شده است. بررسی الگوی امگا نشان‌دهنده مقدار مثبت و پایداری هوا در منطقه پژوهش است. بررسی الگوی جت‌باد (شکل، ۲۰) نشان می‌دهد که هسته اصلی جت جنب‌حاره در شمال آفریقا قرار گرفته و با توجه به محور ناوه روی مدیترانه و حرکت شرق سوی آن، در بخش شمال غرب کشور



شکل ۲۰: روز ۲۵ تا ۳۱ مارس ۲۰۱۳: نقشه میانگین جت باد (پهنه‌های رنگی)، بردار باد (پیکانها یسرخ)

تراز ۲۵۰ هپ و ارتفاع ژوپننسیل (پربند مشکی) تراز ۵۰۰ هپ

است. دلیل این حالت نوسانات بالا و حساسیت بیشتر SPI کوتاه‌مدت به تغییرات شرایط رطوبتی و سهم بالای بارش ماهانه در تغییرات نمایه است. از نظر مکانی خشکسالی‌های شدید از شمال و غرب منطقه به جنوب و شرق منطقه افزایش می‌یابند. تکرار مکرر خشکسالی منجر به کاهش رخدادهای شدید و بسیار شدید در منطقه شده است، بطوریکه بیش از ۷۰ درصد رخدادها از نوع ملايم و متوسط هستند؛ اما هرچه بازه زمانی بزرگ‌تر می‌شود خشکسالی‌های شدیدتر افزایش می‌یابد. ایستگاه‌هایی که از فراوانی بالا برخوردارند، دارای شدت‌های ضعیفتر و ایستگاه‌هایی که فراوانی کمتری دارند از شدت‌های قوی‌تری برخوردارند. خشکسالی‌های ملايم و متوسط عموماً از شرق به غرب و از جنوب به شمال افزایش می‌یابند، زیرا دارای انحراف معیار کمتر هستند. خشکسالی‌های شدید و بسیار شدید نیز از غرب به شرق و از شمال به

نتیجه‌گیری

خشکسالی از جمله مهم ترین مخاطرات محیطی اسلامی تکه‌های تواندوضعیت اقتصادی، اجتماعی و منابع طبیعی در مناطق مختلف تحت تاثیر قرار دهد. در این تحقیق نخست با استفاده از داده‌های بارش و شاخص بارش استاندارد به بررسی آماری پدیده خشکسالی در غرب میانی ایران پرداخته شد. سپس سازوکارهای ایجاد کننده خشکسالی در روزها و دوره‌های مورد مطالعه مورد واکاوی همدید قرار گرفت. نتایج حاصل از محاسبه شاخص بارش استاندارد برای مقیاس‌های زمانی مختلف طی دوره مورد مطالعه نشان‌دهنده فراوانی بالای خشکسالی در ایستگاه‌ها و رخداد مکرر این پدیده در منطقه پژوهش است. بیشترین فراوانی رخداد خشکسالی در مقیاس زمانی ۱۲ ماهه (۹۲ ماه) و کمترین آن در مقیاس زمانی ۱ ماهه (۶۲ ماه) بوده

بالا ییت حتی نفوذ جریانات شمال غربی، فرونگینی پوشیده است. هواپایداری جو و قارمی گیرد. شارش‌های زناری بواسطه سرعت زیاد و عبور از نواحی خشک میزان رطوبت پایین و ویژگی گذردارند. از این‌رو شارش‌های یادشده اگر طوبت کافیده شوند صرفاً تو ای ایجاد بارش‌ها پراکنده و گذردارند، ولی در اکثر موارد رطوبت ناچیز است و سامانه فقط حامل جریانات سرد و خشک است. درنتیجه حاکمیت این جریانات بدوره های کاهش بارش و خشکسالی به مردم ایران می‌شود. در دسامبر از بیشترین نفرات این بیان خود را استو سبب ایجاد خشکسالی می‌نماید. در عرض‌های بالاتر و به شکل زناری شکل می‌گیرد که به تبع آن اواهی بادها غربی بعدها متوجه اهواز و غرب مدیترانه شد. همچنان که در این‌گوشه بتوان اتفاقی پر از تفاسیر این جنوب عربستان را مشاهده کرد. در عرض‌های بالاتر و به شکل زناری شکل می‌گیرد که به تبع آن اواهی بادها غربی بعدها متوجه اهواز و غرب مدیترانه شد. همچنان که در این‌گوشه بتوان اتفاقی پر از تفاسیر این جنوب عربستان را مشاهده کرد. از لایدیگر همزمانی این‌گوشه با خشکسالی‌ها، عدم انطباق ترازها با مختلف جو و ایجاد ناپایداری‌ها یا ضعیفی و اشاره ضعیف و کمبود طوبت است که هسبشده با وجود صرفاً عود و ناپایداری، بارش یابند. ها کاهش

منابع

۱. بداعجمالی، جواد آسیایی، مهدی صمدینقاب، سینا جوانمرد، سهیلا ۱۳۹۰م. مدیریت خشکسالی (شناختور اهکارها). چپاول، مشهد. نشر سخن گستر.
 ۲. خوش‌اخلاق، فرامرز رنجبر، فیروز طولابی، سجاد مقبل، معصو مه. جعفر، معصوص پور سماکوش.

جنوب افزایش می‌یابند که ناشی از نوسانات شدید بارش ایستگاهها در این نواحی است. با افزایش مقیاس زمانی، نمایه استاندارد بارش، تعداد دوره‌های خشک کاهش اما تداوم آن‌ها افزایش می‌یابد. به طوری که از ۱۲ دوره در SPI یک ماهه و سه ماهه به ۴ دوره در ۲۴ ماهه کاهش یافته است در حالی که میانگین SPI تداوم‌ها از ۱ ماه در SPI یک ماهبه ۵ ماه در ۲۴SPI ماهه افزایش یافته است. تداوم خشکسالی از شمال به جنوب و از غرب به شرق افزایش دارد و این ناشی از نفوذ بیشتر بادهای غربی به نقاط شمالی منطقه و وجود ارتفاعات در غرب و شمال منطقه پژوهش است. در اوکاوه‌میدید روزها دوره‌های خشک، چهار دوره-الگودرتراز میانی جو طی- های خشکسالی پر فراز منطقه موردمطالعه مشخص گردید. این الگوها در بررسی ۳۰ ماه نماینده خشک‌شامل پشته ۱۹ (مورد)، شارشنازی (۷ مورد) و ناوه (۴ مورد) بوده است. پشتہ الگوی غالباً خشکسالی- هادر منطقه مطالعاتی است که در تمامی ماه‌های بررسی شده (به استثنای می و دسامبر با الگوی شارش زناری) بیشترین فراوانی را به خود اختصاص داده است. در زمان حاکمیت این الگو معمول‌باشد. الی- های شدید و فراگیر به قوه عیوب پشتہ است؛ زیرا واچرخند جنوب بر بستان پمنجات جایی به غربی قرار گیری بر روی خشکی تقویت گشته و بصور تنصف النهار یجهت گیری می‌کند. در نتیجه پشتہ ای قوى از عربستان به سمت شمال‌گستر شیافت‌های غرب میانی ایران در زیر محور پشتہ قرار گرفته که منطبق برناحیه‌های مکاری

- ٨٧-١٣٨٦. بررسی خشکسالیدر سالانه ای
مطالعه هموردی: شهرستان مرودشت، فصلنامه جغرافیای
طبیعی، شماره ٧، ص ٧٩-٩٠.

٣. خوش اخلاق، فرامرز. عزیزی، قاسم. رحیمی،
مجتبی. ۱۳۹۱. الگوهای همید خشکسالی و ترسالی
زمستانه در جنوب غرب ایران. نشریه تحقیقات کاربردی
علوم جغرافیایی، سال ۱۲، شماره ۲۵، ص ۵۷-۷۷.

۴. دانشور، محمدرضا تلوری، عبدالرسول. توکلی، محمود. داناییان، محمدرضا. ۱۳۸۶. پایش شاخص‌های خشکسالی در جهان. فصلنامه نظام مهندسی کشاورزی و منابع طبیعی، شماره ۱۲ ص ۲۷-۲۲
۵. رحیمی، مجتبی. ۱۳۹۰. تحلیل آماری همدیدی خشکسالی‌های جنوب‌غرب ایران. پایان‌نامه کارشناسی ارشد در رشته جغرافیای طبیعی گرایش اقلیم‌شناسی، دانشگاه تهران.
۶. فتاحی، ابراهیم. بابایی‌فینی، ام‌السلمه. ۱۳۹۲. طبقه‌بندی الگوهای همدیدی بارش‌زاو خشکسالی زاده ایران - زمین. فصلنامه تحقیقات جغرافیایی، شماره‌هاول، ص ۵-۱۰۵ . ۱۲۲
7. Fink, A.H., Brucher,T.,Kruger, A.G.,Leckebusch,C.,Pinto,J.G., and Uibr, W.2004."The 2003 European Summer Heatwaves and drought-synoptic Diagnosis and Impacts", Royal Meteorological society.8:216-209.
8. Li, J.R., Cook, F., Chen,X., Gou,R., Darrigo, and Ung, Y.Y.2010."An Extreme Drought Event in the Central Tien shan Area in the year 1945". Journal of Arid Environments. 74:1225-1231.
9. Livada, M., and Assimakopoulos, V.D. 2007."Spatial and temporal analysis of drought in Greece using the Standardized Precipitation Index (SPI)", pp. 143153
10. Mary, Jennefer, Seasonal Prediction of African Rainfall with A Focus On Kenya, Athesist of Doctor of Space and Climate Physics, University College London, 2011.
11. Parry, S, Prudhomme,C., Hannaford,J., and Hughes, B.2010."Examining the Spatio-Temporal Evolution and Characteristics of Large-Scale European Droughts. BHS Third International Symposium, Managing Consequences of a Changing Global Environment", Newcastle 2010:1-8.
12. Prezerakos, N.G., and Flocas, H.A.2002."Regional and Global Large-Scale Dynamics Associated with a Prolonged Event in Greece", Journal of Atmospheric and Solar-Terrestrial Physics. 64: 1841-1854.
13. Subash, N.H., Mohan,R., and Banukumar, K.2011."Comparing Water-Vegetative indices for Rice (*Oryza sativa* L.) – Wheat (*Triticum aestivum* L.) Drought Assessment". Computers and Electronics in Agriculture. Xxx :1-13.
14. Tran, L., Knight,C.G.,and Wesner, V. 2002. Drought in Bulgaria and Atmospheric Synoptic conditions over Europe" GeoJournal.57, 149-157.
15. Wu, A.H., Mark, D., Svoboda, B., Michael, J., Hayes, B., Donald, A., and Fujiang, W. 2007. Appropriate application of the Standardized Precipitation Index in arid locations and dry seasons". International Journal of Climatology.
16. Mc.Kee, T.B., Doesken, N.J., and Kleist, J. 1993. The relationship of drought Frequency and duration to time scales, 8th conference on Applied Climatology, 17-22.

